

乱れの高波数領域におけるスペクトル特性について

九州大学大学院 学生員 ○松本 勝司
 九州大学工学部 正員 植 東一郎
 九州大学工学部 正員 小松 利光
 九州大学工学部 正員 柴田 敏彦

1. まえがき

乱れの波数空間において、その中・高波数帯に局所等方性とみなされる平衡領域が存在し、慣性領域ではスペクトルの一階乗則が成立することが良く知られている。粘性域についても著者らが一階乗則を提唱して以来、いくつかの室内実験で一階乗則が成立することが報告されている。^{3,4,5)}

一般に次元的物理的に推測されたスペクトル関数型の妥当性を確かめるためにはスペクトル定数が広範な条件のもとに一義的に決められていることが必要である。慣性域の一階乗則については $A_{10} = 0.50 \pm 0.05$ が与えられており、また粘性域については著者らが開水路乱流や格子乱流の実験より一階乗則のスペクトル定数 A_{100} と A_{10} との間の一義的な関係を求めている。しかしながら室内実験のため乱流 Reynolds 数 Re が比較的小さいデータのみに依ることや A_{10} の値に不確実性が残っていることなどから、正確な A_{100} の値を確定するには至っていない。

そこで、今回 Re の大きな流れの測定を試み、遠賀川河口堰での実測を行なった。高波数側の粘性域のスペクトルを高い $S - N$ 比で精度良く得るため、いくつかの新しい測定方法を採用した。本論文は、これらの実測結果から得られた高い乱流 Reynolds 数の乱れのスペクトルの平衡領域の特性について考察を加えている。

2. 実験方法ヒデータ解析

遠賀川河口堰は河口より 2.0 km 地点に設置されており幅は約 517m である。この河口堰の側岸に魚道が設置されており、hot film 流速計を用いる際に問題となる気泡が湛水によって除去されていること、魚道の断面がきれいな矩形をしていることなどの理由から、魚道を測定地点として選んだ。魚道の幅は 3.5m、高さ 1.8m であり、水深は下流の堰の上下により若干異なるが約 $h = 1m$ 、平均流速は $U = 10 \sim 20 \text{ cm/sec}$ であった。

平均流速や乱れの測定には DISA 社製 V 型 2 方向 hot film プローブを使用して乱れ u, v を測定し、また軸方向に 90° プローブを回転させて乱れ u, v を測定した。断面平均の Reynolds 数は $Re = 94,000 \sim 187,000$ であった。

この実測ではデータの $S - N$ 比を高めるため、平均流速を求めるためのデータ(a)と乱れの成分を精度良く求めるために平均量を差し引いた変動部分だけを取り出してデータレコーダの許容入力範囲ぎりぎりまで増幅したデータ(b)、そして高周波(高波数)の乱れの特性を精度良く得るためにエネルギーレベルの高い低周波の成分を high-pass filter で除去した後データレコーダの許容入力範囲まで増幅したデータ(c)ヒに分けて収録した(図-1)。(b),(c)のデータについてはモニターとして 2ch FFT Spectrum Analyzer(小野測器(株)製)に入力させ、displayされたスペクトルを見ながら high-pass filter の cut の境界を決定した。データレコーダに収録されたデータの時系列の一例を図-2 に示す。これらの変動データは A-D 変換の後、統計処理された。

スペクトルは FFT 法で計算し、サンプリング間隔は $\Delta t = 1/375 \text{ sec}$ 、データ個数は 1 測点につき $N = 16,384$ 個とした。得られたスペクトルの 1 例を図-3 に示す。(b),(c)のデータにより高波数のスペクトルが精度良く得られている。

(b),(c)のデータより得られたスペクトルを両者のスペクトルが良く一致する領域で連結し、低

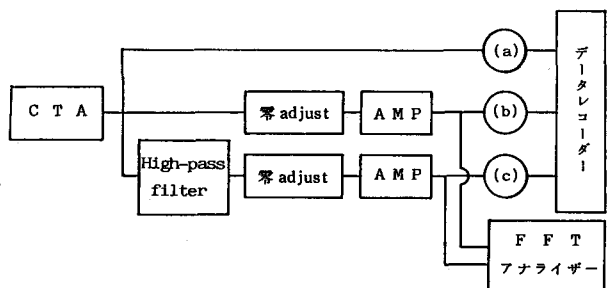


図-1 データの収録方法

波数側を(b)のスペクトル、高波数側を(c)のスペクトルで表わせば広い波数域に渡る高精度のスペクトルが得られる。uのスペクトルの代表的な1例を図-4に示す。慣性域で-5/3、粘性域で-13/3の勾配とよく一致している。

今、流れ方向の慣性域のスペクトル

$$F_u(k) = A_{5/3} \varepsilon^{2/3} k^{-5/3} \quad \dots \dots \dots (1)$$

より $\chi \equiv (A_{5/3})^{5/3} = \{k^{5/3} F_u(k)\}^{5/3}$ が得られ、スペクトル図から慣性域に属する1点の長さと $F_u(k)$ を読み取り、各測点ごとの χ を算出した。

粘性域の-13/3乗則

$$F_u(k) = A_{13/3} \varepsilon^{4/3} k^{-13/3} \quad \dots \dots \dots (3)$$

を変形し ε の代わりに χ を用いて表わすと次式のようになる。

$$k^{10/3} \chi^2 F_u(k) = A_{13/3} \varepsilon^{10/3} = \{A_{13/3}/(A_{5/3})_u\} \chi^{10/3} \quad \dots \dots \dots (4)$$

u -変動のスペクトルについては、定数 α を次のように定義する。

$$\alpha \equiv (A_{5/3})_u / (A_{5/3})^2 = k^{10/3} \chi^2 F_u(k) / \chi^{10/3} \quad \dots \dots \dots (5)$$

u -変動のスペクトル図の粘性域に属するデータから1つのスペクトルにつき1点の長さと $F_u(k)$ を読み取り(5)式に代入して α の値を求めるとき、 $\alpha = 0.047 \pm 0.010$ となることから、 $(A_{5/3})_u$ と $(A_{5/3})^2$ の間の関係は、

$$(A_{5/3})_u = (0.047 \pm 0.010) (A_{5/3})^2 \quad \dots \dots \dots (6)$$

となり、著者らが開水路乱流や格子乱流、また振動格子乱流の数多くの実験から得た結果と良く一致している。 α がほぼ一定値となることから Re 数の大きい乱れでも粘性域で-13/3乗則が良好に成立していることがわかる。

また、 u -変動のスペクトルについて検討したところ、乱れの局所等方性が慣性域から粘性域に渡る広い波数域で成立していることがわかった。

3. 結論

本研究で得られた主要な結論は以下のようである。

- (1) 平衡領域の波数領域だけでも6 decade に渡って乱れエネルギーが分布しているにもかかわらず、高波数まで精度良く測定することができた。
- (2) 亂流 Reynolds 数の大きい乱れでもスペクトルの慣性域では-5/3乗則、粘性域では-13/3乗則が良好に成立する。特に慣性域の-5/3乗則は広い波数帯に渡って成立している。
- (3) スペクトル定数 $(A_{5/3})_u$ と $(A_{5/3})^2$ の間の関係を(6)式により一義的に関係づけることができた。これは格子乱流や開水路乱流・振動格子乱流などの室内実験から得られた結果と良く一致する。

参考文献

- 1) 橋東一郎・小松利光 : 1977 土木学会論文報告集 No. 268
- 2) 小松利光・橋東一郎 : 1977 九大工学集報 第50巻、第4号
- 3) 橋・小松・下田 : 1981 第25回水理講演会論文集
- 4) 加藤・中野・池田 : 1982 第29回海岸講演会論文集
- 5) 鶴谷・中野・一戸 : 1984 第31回海岸講演会論文集
- 6) 橋・小松・柴田・松本 : 1984 土木学会第39回国講

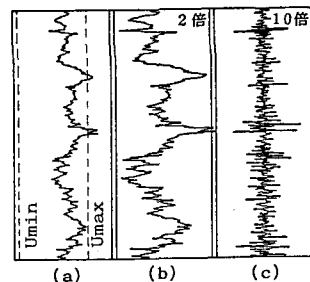


図-2 乱れ変動の計測データ

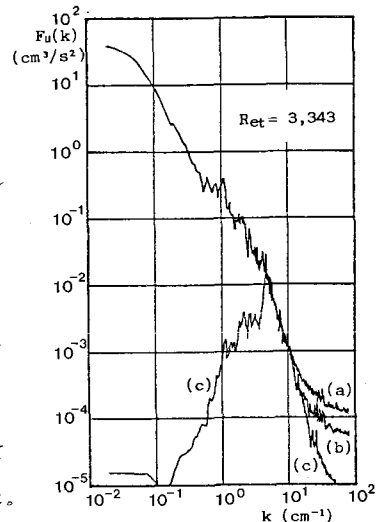


図-3 乱れのスペクトルの1例

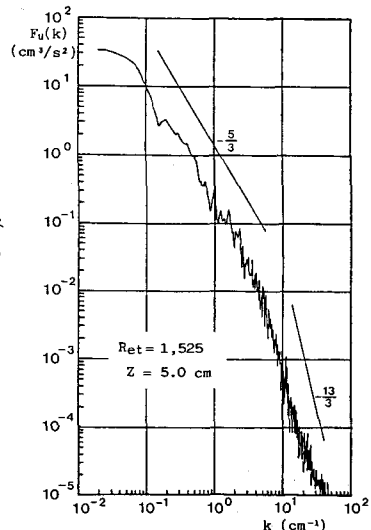


図-4 u-変動のスペクトル